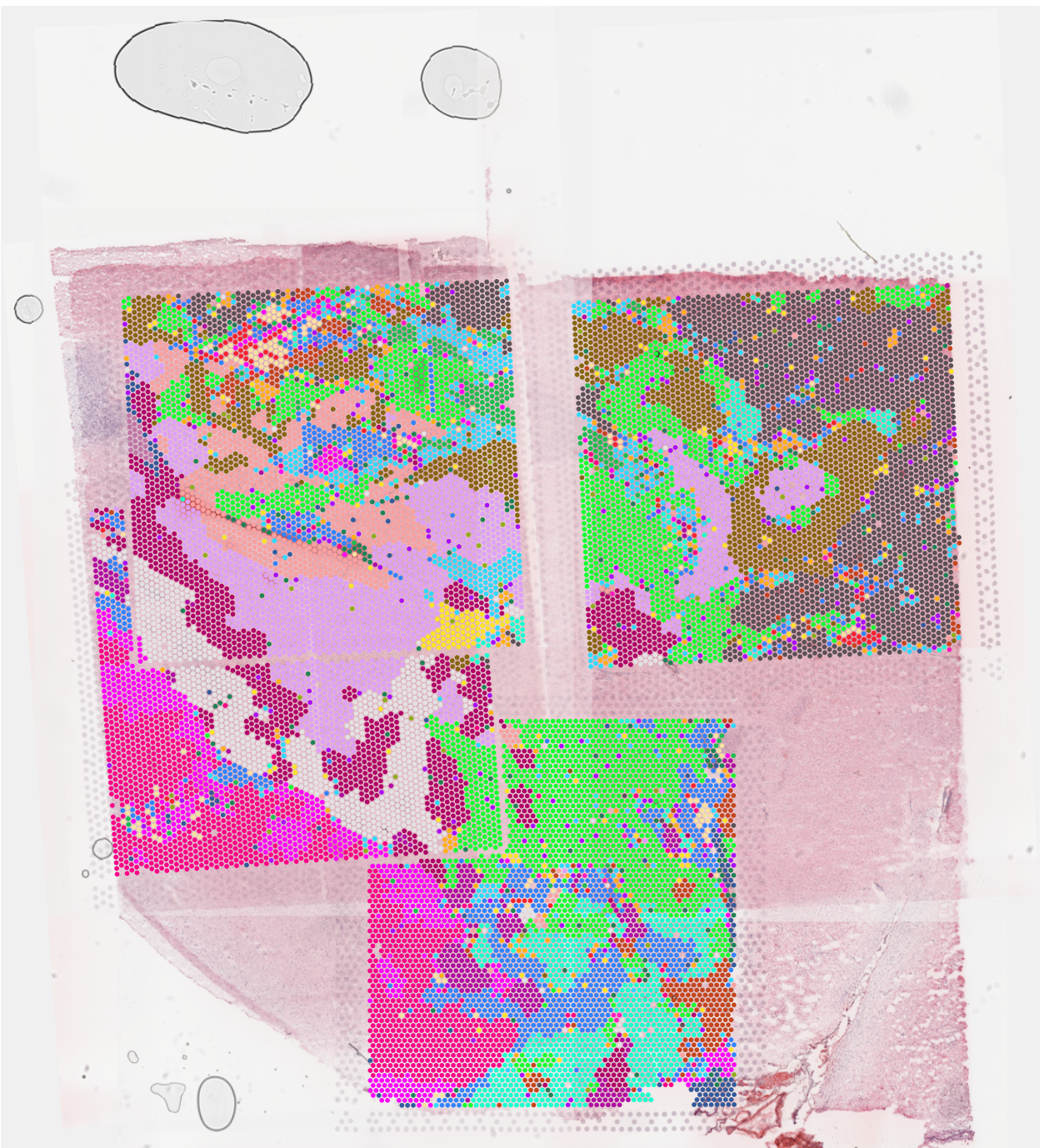
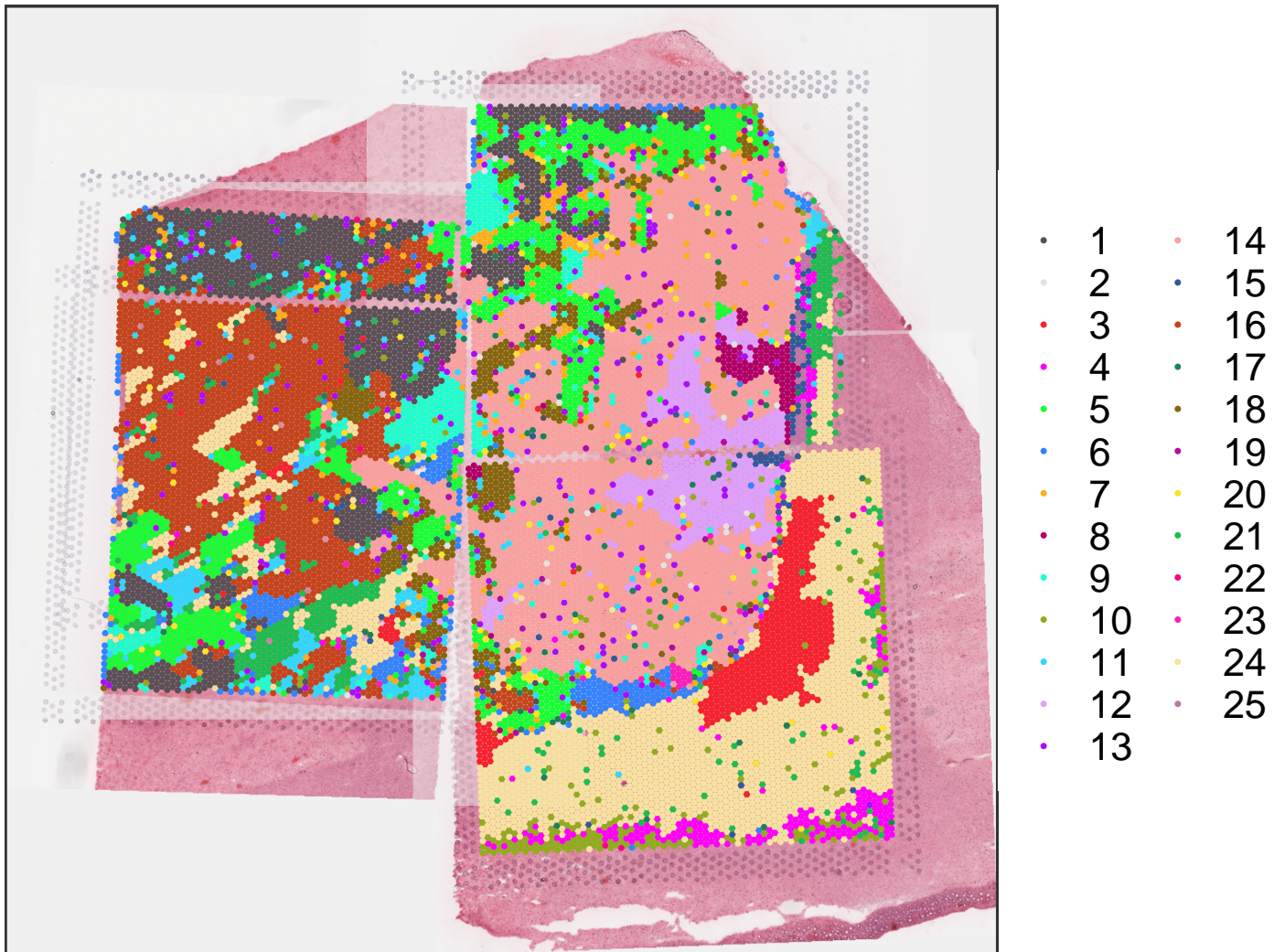


Br2720_precast_cluster

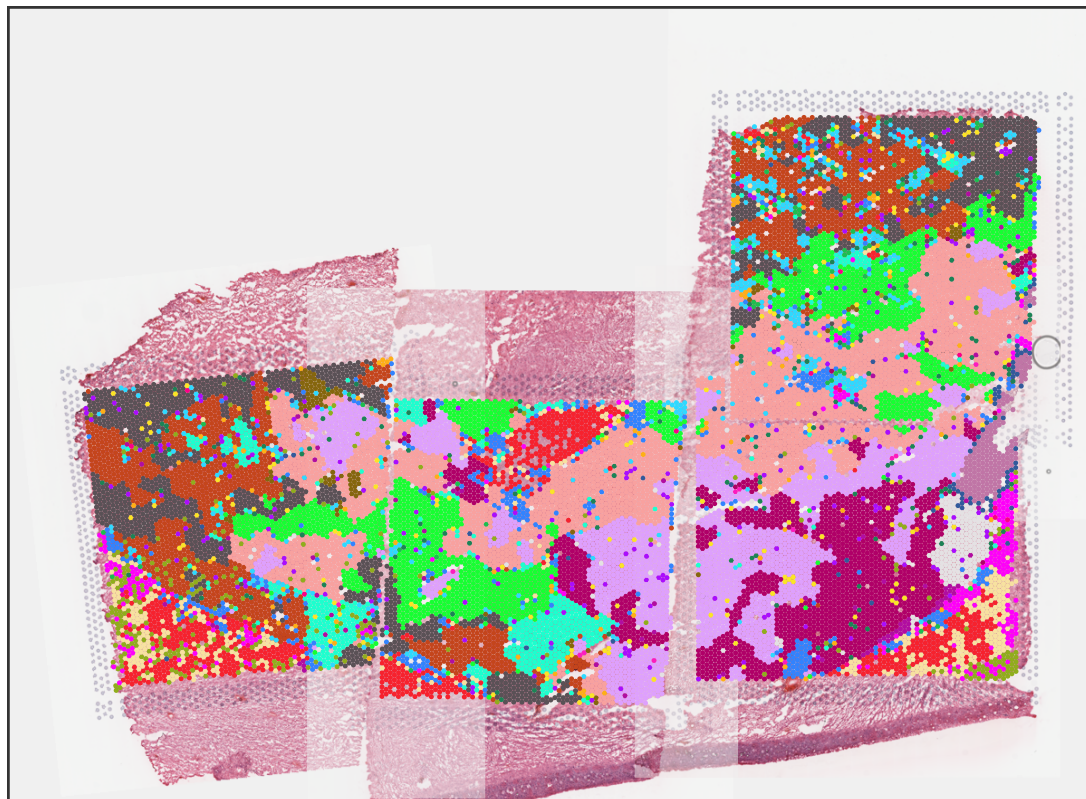


• 1	• 14
• 2	• 15
• 3	• 16
• 4	• 17
• 5	• 18
• 6	• 19
• 7	• 20
• 8	• 21
• 9	• 22
• 10	• 23
• 11	• 24
• 12	• 25
• 13	

Br2743_precast_cluster

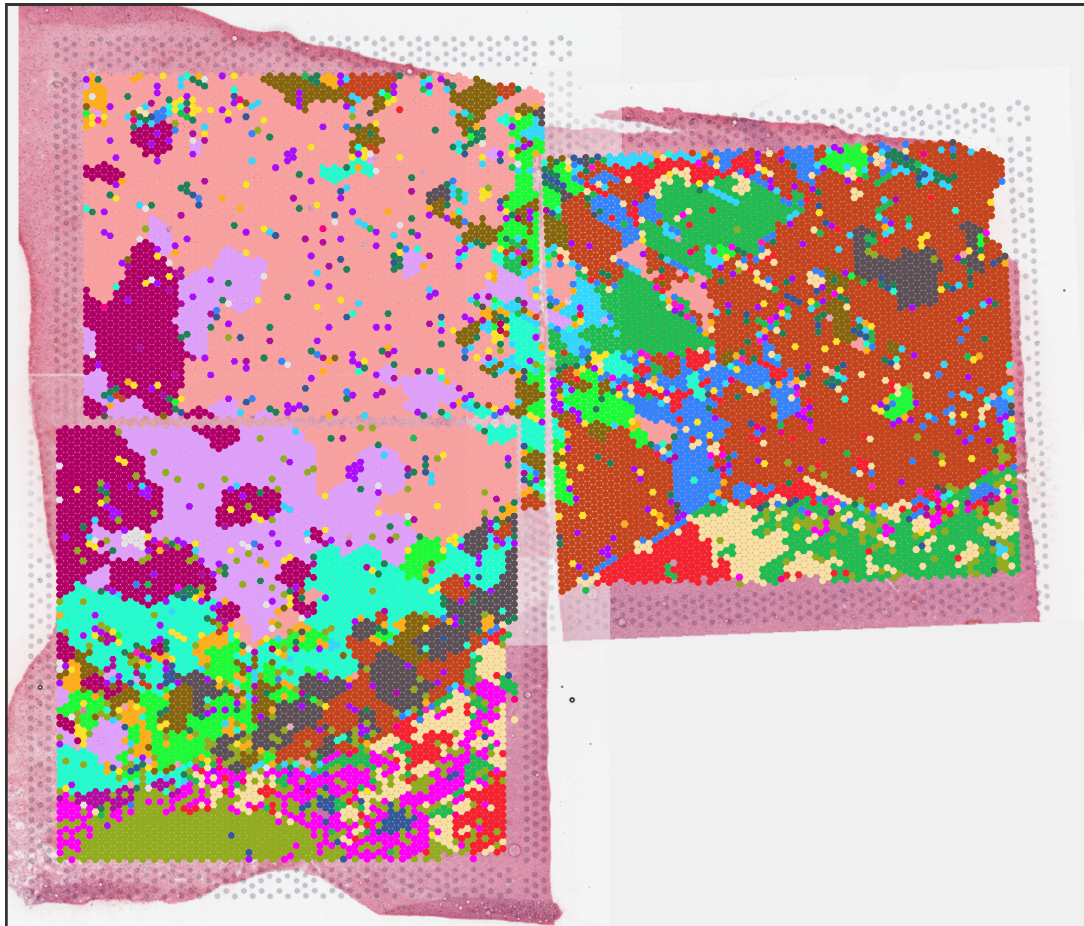


Br3942_precast_cluster

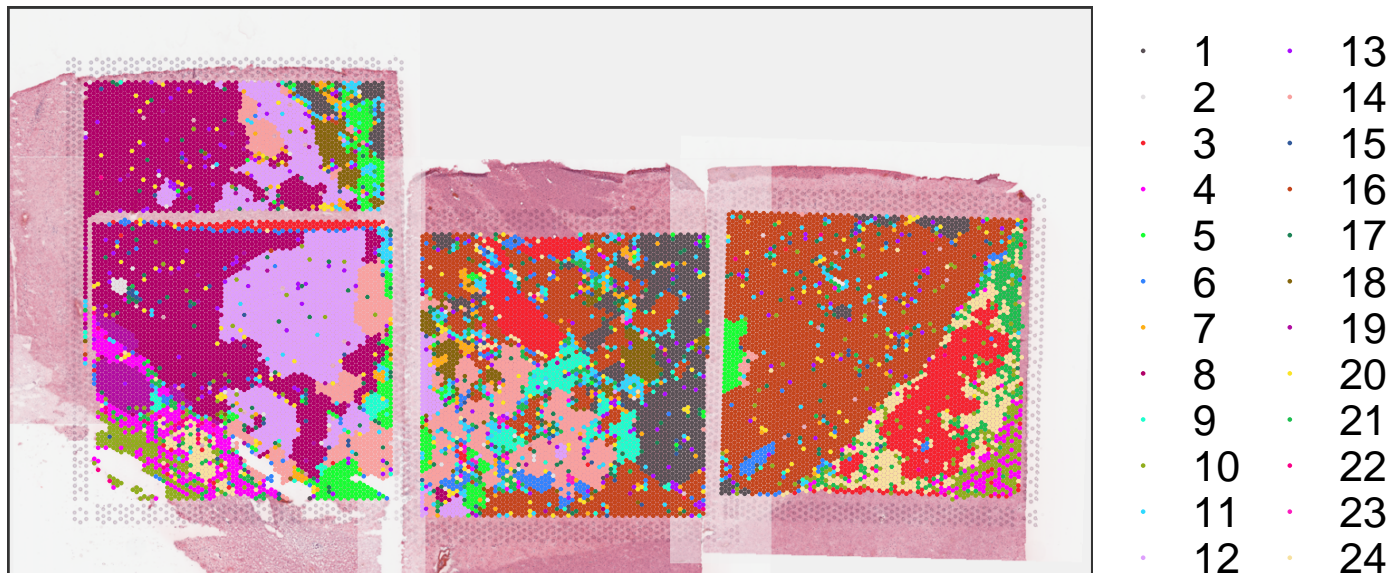


- 1 14
- 2 15
- 3 16
- 4 17
- 5 18
- 6 19
- 7 20
- 8 21
- 9 22
- 10 23
- 11 24
- 12 25
- 13

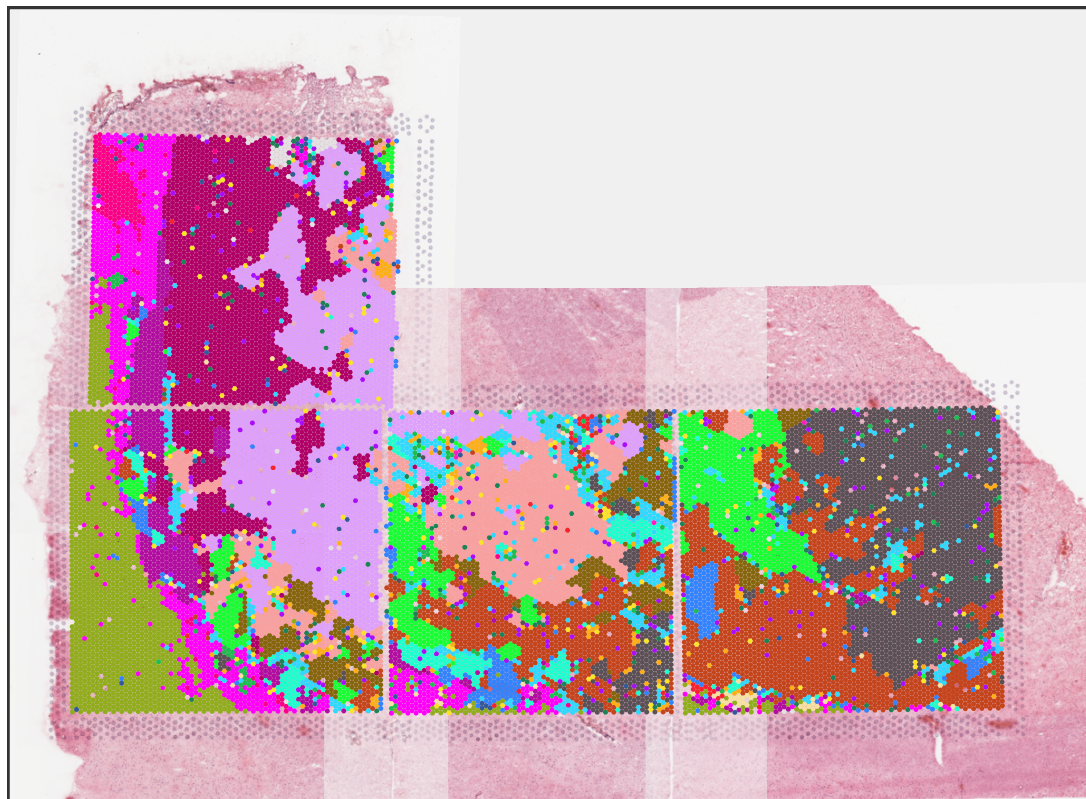
Br6423_precast_cluster



Br6432_precast_cluster

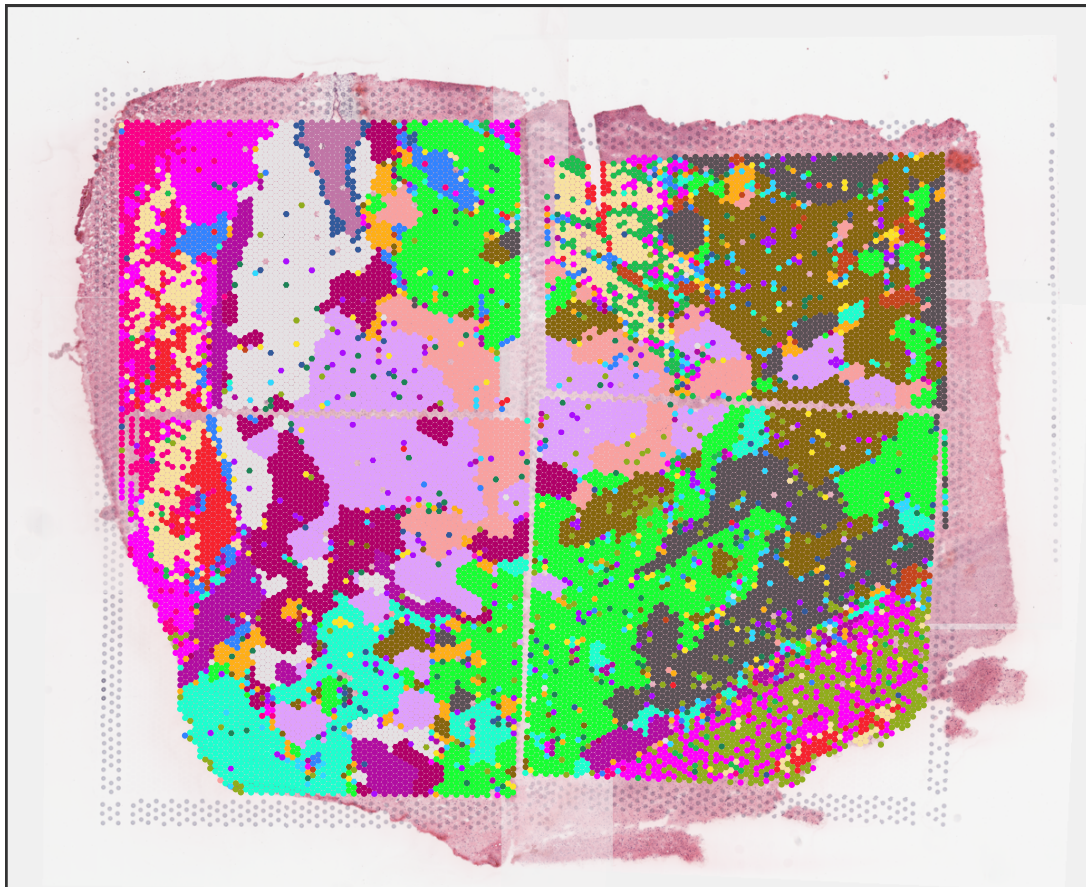


Br6471_precast_cluster



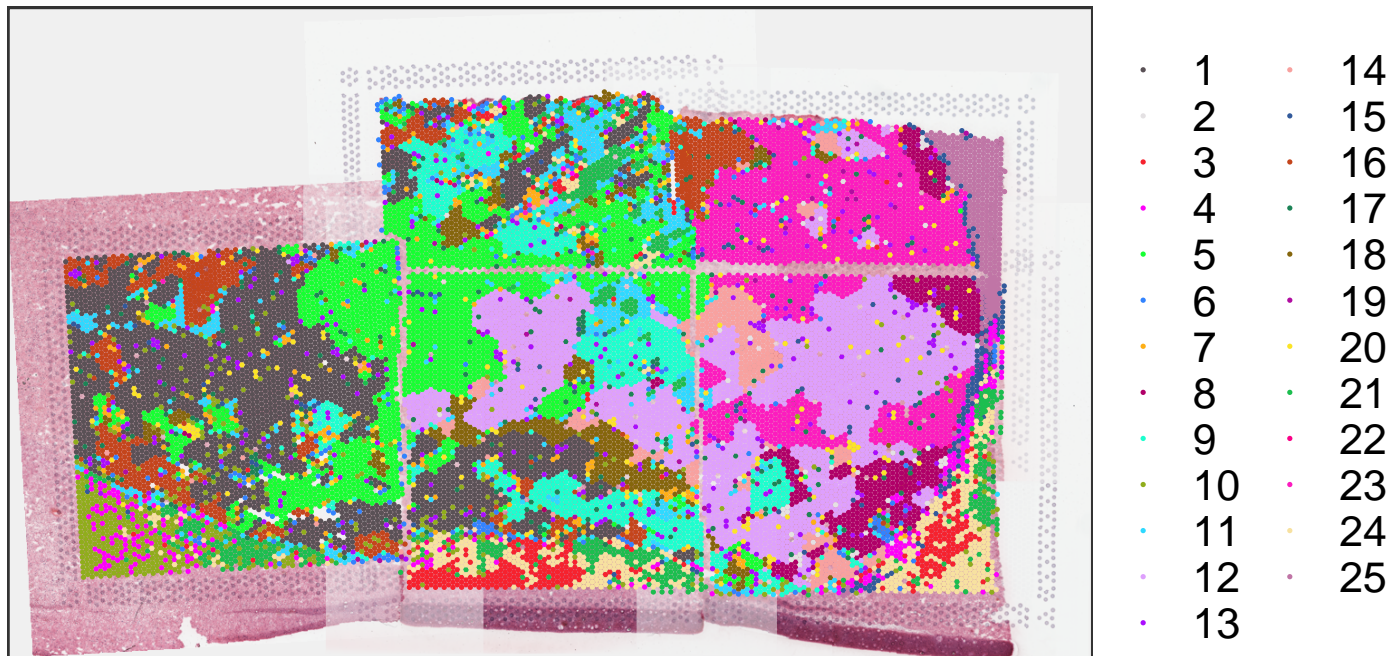
- | | |
|------|------|
| • 1 | • 13 |
| • 2 | • 14 |
| • 3 | • 15 |
| • 4 | • 16 |
| • 5 | • 17 |
| • 6 | • 18 |
| • 7 | • 19 |
| • 8 | • 20 |
| • 9 | • 21 |
| • 10 | • 22 |
| • 11 | • 23 |
| • 12 | • 24 |

Br6522_precast_cluster

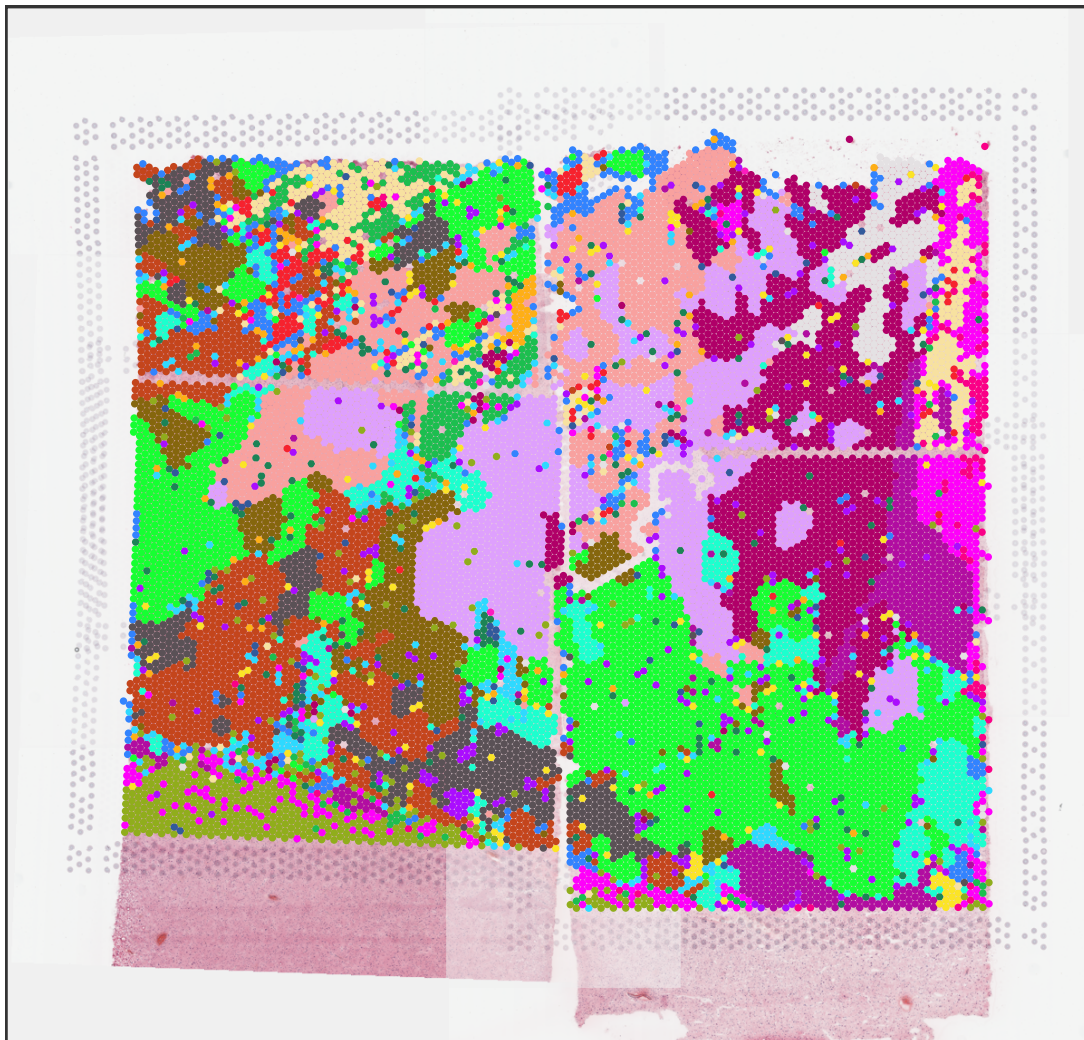


- 1
- 2
- 3
- 4
- 5
- 6
- 7
- 8
- 9
- 10
- 11
- 12
- 13
- 14
- 15
- 16
- 17
- 18
- 19
- 20
- 21
- 22
- 23
- 24
- 25

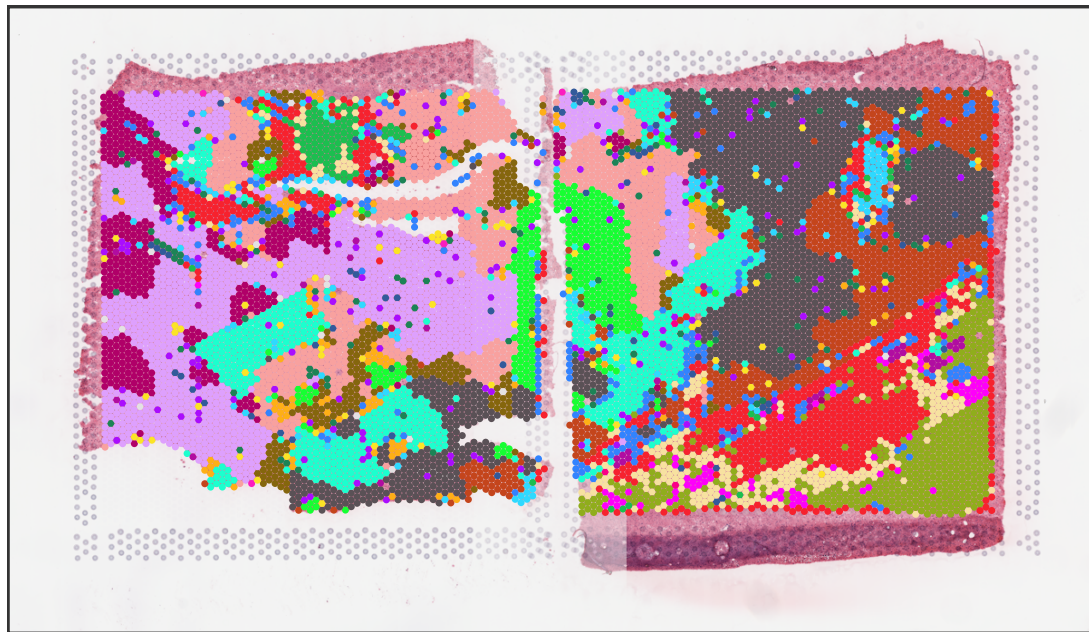
Br8325_precast_cluster



Br8492_precast_cluster



Br8667_precast_cluster



- | | | | |
|---|----|---|----|
| • | 1 | • | 13 |
| • | 2 | • | 14 |
| • | 3 | • | 15 |
| • | 4 | • | 16 |
| • | 5 | • | 17 |
| • | 6 | • | 18 |
| • | 7 | • | 19 |
| • | 8 | • | 20 |
| • | 9 | • | 21 |
| • | 10 | • | 22 |
| • | 11 | • | 23 |
| • | 12 | • | 24 |